

УДК 538.911, 538.958

Nd:YAG/Cr:YAG композитная лазерная керамика

С.Г. Гаранин¹, В.В. Осипов², В.А. Шитов², В.И. Соломонов²,
К.Е. Лукьяшин², А.В. Спирина², Р.Н. Максимов^{2,3}, Е.В. Поздняков^{1*}

¹ Российский Федеральный ядерный центр –

Всероссийский научно-исследовательский институт экспериментальной физики

607188, г. Саров, пр. Музыкурова, 10

² Институт электрофизики Уральского отделения РАН

620016, г. Екатеринбург, ул. Амундсена, 106

³ Уральский федеральный университет имени первого Президента России Б.Н. Ельцина
620002, г. Екатеринбург, пр. Ленина, 51

Поступила в редакцию 11.12.2015 г.

Сообщается о синтезе композитных керамик следующего состава: 1Nd:YAG – центральная область и Cr:YAG – оправа. При этом центральные части дисков выполнялись либо в форме круга диаметром 14 мм, либо квадрата со стороной 11 мм, внешний диаметр оправы составлял 18 и 23 мм соответственно. Пропускание центральной части образцов на длине волны 1,06 мкм составляло ~84%. С использованием полученных спектров пропускания и известных сечений поглощения Cr⁴⁺ определены его концентрации в Cr⁴⁺:YAG-керамиках трех различных составов. Это позволило оценить характеристики оправы, при которых условия самовозбуждения в Nd:YAG не реализуются, и выбрать состав оправы 2,5 мол.% Cr + 0,5 мол.% Ca + 97 мол.% YAG.

Ключевые слова: керамика, лазер, композит, прозрачность, синтез, Nd:YAG, Cr:YAG, тонкий диск, методика; ceramics, laser, composite, transmittance, synthesis, Nd:YAG, Cr:YAG, thin disk, method.

Введение

В настоящее время лазеры на тонких дисках являются одним из наиболее быстроразвивающихся классов лазеров. Их средняя мощность уже достигла десятков киловатт [1], и имеются прогнозы о возможности получения нескольких мегаватт с одного диска [2]. Толщина дисков обычно составляет 100–300 мкм, а диаметр не превышает, как правило, 5 см. Диски крепятся на медном зеркале, которое охлаждается до криогенных температур. Малая толщина активной среды и ее охлаждение предопределяют ряд достоинств этих лазеров: узость генерирующей линии, отсутствие фазовых искажений и т.д. Однако существенное превышение диаметра над толщиной может привести к формированию «паразитного» излучения в радиальном направлении, что ведет к подавлению генерации или существенному снижению ее эффективности. Для предотвращения этого явления необходимо безотражательно соединить активную среду с сильно

поглощающим материалом. В работе [3] показано, что таким материалом может быть Cr:YAG, содержащий ионы Cr⁴⁺, имеющие существенное поглощение в ближней ИК-области 800–1100 нм с максимумом при $\lambda \approx 1000$ нм. Однако вхождение четырехвалентного иона Cr⁴⁺ в матрицу, содержащую трехвалентные катионы Y³⁺ и Al³⁺, подразумевает наличие в ней и двухвалентных катионов, компенсирующих избыточный заряд. Целью настоящих исследований является создание методики приготовления композитной керамики для лазеров на тонких дисках.

Образцы

В ходе работы на первом этапе готовились образцы Cr⁴⁺:YAG-керамики. При этом для компенсации четырехвалентного иона Cr⁴⁺ использовались ионы Ca²⁺. В качестве образцов были взяты порошки Ca²⁺:Y₂O₃ и Cr⁴⁺:Al₂O₃, приготовленные методом лазерного синтеза [4]. Диски Cr⁴⁺:Ca²⁺:YAG диаметром 12 мм и толщиной 2 мм спекались при температуре 1780 °C в течение 20 ч. Методика их приготовления разработана нами ранее [5].

Для создания композитной керамики вначале формировался брикет из Nd:YAG, подпрессовка которого проводилась при давлениях 15–20 МПа. Этот брикет устанавливался в центре матрицы, и по его контуру производилась засыпка Cr⁴⁺:Ca²⁺:YAG-порошка. Окончательное прессова-

* Сергей Григорьевич Гаранин (garanin@otd13.vniif.ru); Владимир Васильевич Осипов (osipov@iep.uran.ru); Владислав Александрович Шитов (vlad@iep.uran.ru); Владимир Иванович Соломонов (plasma@iep.uran.ru); Константин Егорович Лукьяшин (kostya@iep.uran.ru); Альфия Виликовна Спирина (rasuleva@iep.uran.ru); Роман Николаевич Максимов (romanmaksimov@e1.ru); Евгений Владимирович Поздняков (postmaster@iskra5.vniif.ru).

ние производилось при 200 МПа. На рис. 1 показаны два образца композитной керамики разной геометрии, но одинакового состава Nd:YAG/1,9Cr,0,15Ca:YAG.

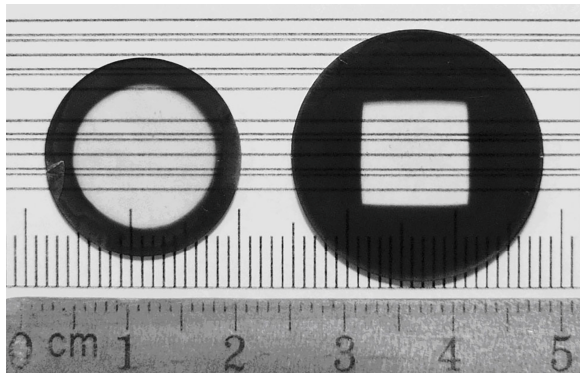


Рис. 1. Фотографии образцов композитной керамики с геометрией «круг в круге» (слева) и «квадрат в круге» (справа)

В первом типе образцов композитной керамики с геометрией «круг в круге» в центре располагается керамика Nd:YAG в форме круга диаметром 14 мм, а по окружности — керамика 1,9Cr,0,15Ca:YAG в виде кольца с внешним диаметром 18 мм. Во втором типе образцов с геометрией «квадрат в круге» в центре находится керамика Nd:YAG в виде квадрата размером 11×11 мм, а по окружности — керамика 1,9Cr,0,15Ca:YAG с внешним диаметром 23 мм. Толщина образцов составляла ~3 мм.

Результаты исследований и их обсуждение

Керамика Cr:YAG. Все образцы этой керамики после спекания, просветляющего отжига и ручной полировки в видимой области оставались непрозрачными. На рис. 2 приведены спектры пропускания трех образцов (таблица), снятые с помощью спектрофотометра Shimadzu UV-1700 в диапазоне от 200 до 1100 нм при комнатной температуре образцов.

Сильное поглощение в видимой области обусловлено в основном переходами ${}^4A_2 \rightarrow {}^4T_2, {}^4T_1, {}^2T_2$ иона Cr^{3+} . Переход ${}^4A_2 \rightarrow {}^2E$ Cr^{3+} проявляется в виде слабой узкой R -линии при $\lambda = 689$ нм на коротковолновом краю окна прозрачности. Длинноволновый край окна прозрачности при $\lambda > 800$ нм формируется полосой поглощения на оптическом переходе ${}^3B_1({}^3A_2) \rightarrow {}^3E({}^3T_2)$ иона Cr^{4+} . Для этого перехода известны эффективные сечения поглощения при $\lambda_1 = 1064$ нм ($\sigma_1 = 5,7 \cdot 10^{-18} \text{ см}^2$ [6]),

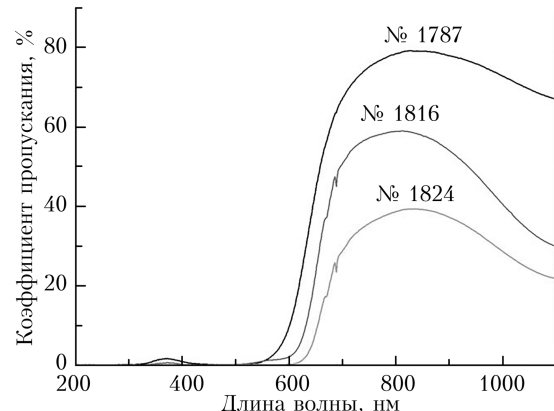


Рис. 2. Спектры пропускания образцов № 1787, 1816 и 1824 керамики Cr:YAG с разным содержанием хрома (таблица)

$\lambda_2 = 946$ нм ($\sigma_2 = 4,0 \cdot 10^{-18} \text{ см}^2$ [7]) и $\lambda_3 = 914$ нм ($\sigma_3 = 3,9 \cdot 10^{-18} \text{ см}^2$ [7]), позволяющие оценить концентрацию ионов Cr^{4+} . Для этой оценки по данным рис. 2 были определены коэффициенты поглощения $\alpha_i(\lambda_i)$ при трех указанных выше длинах волн ($i = 1, 2, 3$) по формуле

$$\alpha_i(\lambda_i) = -\frac{1}{l} \ln \left(\frac{T(\lambda_i)}{(1-R)^2} \right). \quad (1)$$

Здесь $T(\lambda_i)$ — пропускание при длине волны λ_i ; l — толщина образца; $R = \left(\frac{n-1}{n+1} \right)^2 = 0,085$ — коэффициент отражения от одной поверхности образца, $n = 1,82$ — показатель преломления Cr:YAG при $\lambda_1 = 1064$ нм [8]. Это же значение показателя преломления использовалось для определения $\alpha_2(\lambda_2)$ и $\alpha_3(\lambda_3)$. Концентрация ионов Cr^{4+} определялась как $N_i = \alpha_i / \sigma_i$. Определенные таким способом для трех длин волн полосы поглощения α_i и N_i приведены в таблице.

Видно, что значения концентраций ионов Cr^{4+} , определенных по коэффициентам поглощения при $\lambda_2 = 946$ и $\lambda_3 = 914$ нм, почти в 1,5 раза больше определенных по α_1 ($\lambda_1 = 1064$ нм). Это связано, скорее всего, с недостаточной точностью сечений возбуждений, так как погрешность определения α_i , обусловленная пренебрежением зависимости показателя преломления от длины волны, в нашем случае не превышает 0,0001. В последнем столбце таблицы приведены отношения концентраций N_1 ионов Cr^{4+} , вычисленных для $\lambda_1 = 1064$ нм, к полной концентрации ионов хрома. Видно, что с ростом содержания ионов хрома в керамике наблюдается

Полосы поглощения α_i и N_i

№ образца	Cr; Ca, мол. %	l , мм	α_1 , см^{-1}	α_2 , см^{-1}	α_3 , см^{-1}	$N_1 \cdot 10^{17}$, см^{-3}	$N_2 \cdot 10^{17}$, см^{-3}	$N_3 \cdot 10^{17}$, см^{-3}	N_1/N_{Cr} , %
1787	0,25; 0,25	2,0	1,00	0,49	0,40	1,76	2,51	2,58	0,49
1816	1,90; 0,15	2,0	4,75	2,73	2,34	8,34	11,8	12,2	0,30
1824	2,50; 0,25	2,2	5,81	4,12	3,79	10,2	14,5	14,9	0,28

явная тенденция к возрастанию концентрации четырехвалентных ионов хрома и к уменьшению их доли относительно полного содержания хрома. Стоит заметить, что эта доля не превышает 0,5%, т.е. основная часть ионов хрома остается в трехвалентном состоянии. Они хорошо проявляются в спектре импульсной катодолюминесценции [9] в виде красной полосы (рис. 3), состоящей из R -линий Cr^{3+} ($\lambda = 689 \text{ нм}$) и N -линий $\text{Cr}^{3+}-\text{Cr}^{3+}$ -пар.

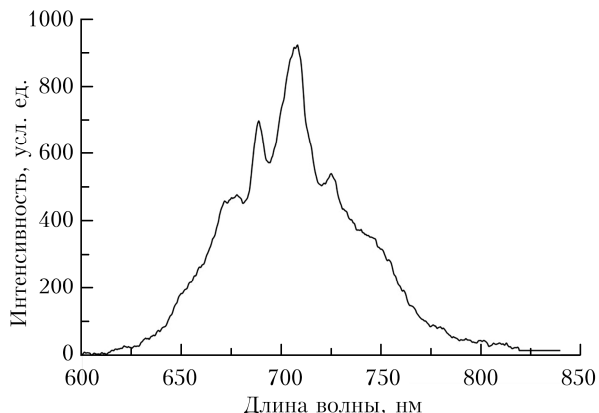


Рис. 3. Спектр импульсной катодолюминесценции образца № 1787 керамики Cr:YAG

Дисковая композитная керамика Nd:YAG/Cr,Ca:YAG. В ее составе роль окаймляющей керамики Cr,Ca:YAG заключается в подавлении усиления лазерного излучения при $\lambda = 1064 \text{ нм}$ в плоскости диска. Для этого необходимо выполнение условия недопустимости самовозбуждения лазерной генерации вдоль плоскости диска:

$$gL - \alpha_1 h = -\ln R \approx 2,5, \quad (2)$$

или более жесткого условия:

$$gL \leq \alpha_1 h, \quad (3)$$

где g — коэффициент усиления в керамике Nd:YAG; L — ее максимальная длина в плоскости диска; h — ширина оправы (см. рис. 1); α_1 — коэффициент поглощения при $\lambda = 1064 \text{ нм}$ керамики Cr,Ca:YAG; $R \approx 0,085$ — коэффициент отражения керамики Cr:YAG.

В монокристаллах Nd:YAG при инверсной населенности порядка 10^{18} см^{-3} коэффициент усиления не превышает $0,45 \text{ см}^{-1}$. Отсюда следует, что для дисковых элементов композитной керамики геометрии «круг в круге» и «квадрат в круге» с вышеуказанными размерами условие (3) выполняется при $\alpha_1 h > 0,63$ и $0,7$ соответственно. Из таблицы видно, что для обеспечения этих условий ширина оправы состава $0,25\text{Cr},0,25\text{Ca}:YAG$ (образец № 1787) должна быть более 2 мм, состава $1,9\text{Cr},0,15\text{Ca}:YAG$ (образец № 1816) — менее 2 мм. Поэтому для приготовления композитной керамики мы использовали керамику состава, близкого к $1,9\text{Cr},0,15\text{Ca}:YAG$.

Внутренняя структура керамик Nd:YAG исследовалась с помощью оптического микроскопа Olympus BX51TRF. Для этого диски композитной

керамики подвергались ручной полировке. Как показали исследования, внутренняя структура керамики сложена из плотно упакованных кристаллитов размером 10–30 мкм и представляет собой почти идеальный поликристалл, в котором присутствуют редкие инородные включения. Для определения их содержания анализу подвергались пять участков керамики размерами $577 \times 433 \text{ мкм}$. На них фокусная плоскость объектива микроскопа дискретно (через 50 мкм) перемещалась от верхней к нижней плоскости образца. Усреднение содержания инородных включений для каждой фокальной плоскости проводилось по пяти участкам керамики. По фотографиям, полученным с микроскопа, мы не смогли отличить поры от включений второй фазы, поэтому все обнаруженные неоднородности были классифицированы как центры экстинкции.

Среднее содержание этих центров составляет 13 ppm. Причем основной вклад (10 ppm) дают крупные поры диаметром более 5 мкм. Следует заметить также, что наибольшее количество центров экстинкции располагается в приповерхностных слоях керамики толщиной около 200 мкм, которые удаляются в процессе полировки керамики.

Спектры пропускания керамик снимались с помощью спектрофотометра Shimadzu UV-1700 в диапазоне от 200 до 1100 нм при комнатной температуре образцов. На рис. 4 приведены спектры пропускания лазерного монокристалла Nd:YAG и центральной части керамики (Nd:YAG). Видно, что при длинах волн $\lambda > 450 \text{ нм}$ они практически совпадают. Отличие спектров керамики от монокристалла проявляется в длинноволновом смещении края фундаментального поглощения.

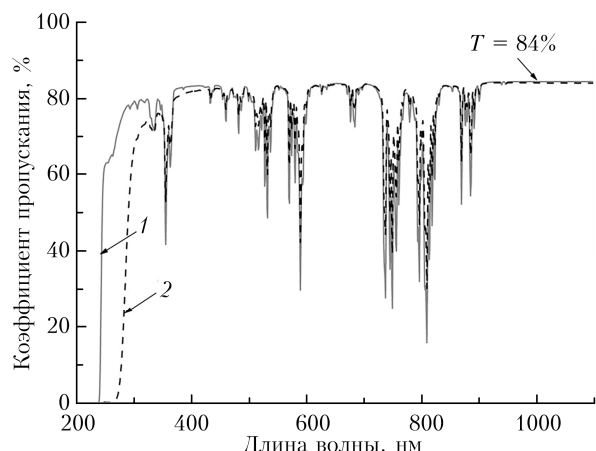


Рис. 4. Спектры пропускания: 1 — лазерный монокристалл Nd:YAG; 2 — керамика Nd:YAG центральной части

Такое смещение может быть связано с повышенным содержанием донорных и акцепторных центров или с наличием второй фазы с меньшей шириной запрещенной зоны. Вторая фаза на основе SiO_2 могла образоваться в керамике, поскольку при ее синтезе использовалась спекающая добавка ТЭОС (тетраэтилортосиликат). Однако анализ, проведенный на дифрактометре D8 Discover, не

обнаружил вторых фаз содержанием более его предела обнаружения (около 3%). В связи с этим можно предположить, что наблюдаемый сдвиг является следствием образования в керамике донорных центров типа Si^{4+} . Однако их образование не влияет на оптические характеристики керамики в области длин волн лазерной генерации (1060 нм) и накачки (808 нм).

Керамика оправы 1,9Cr,0,15Ca:YAG после спекания, просветляющего отжига и ручной полировки оставалась непрозрачной в видимой области. Спектр ее пропускания практически совпадал со спектральным пропусканием образца № 1816 (рис. 2).

Заключение

Разработана методика приготовления композитных керамик. Синтезированы образцы со следующей конфигурацией: центральная часть изготавливалась в виде круга диаметром 14 мм или квадрата со стороной 11 мм, ее состав – 1Nd:YAG, а внешний диаметр диска (оправы) равнялся 18 или 23 мм соответственно. Для выбора состава оправы, обеспечивающей подавление паразитной генерации, изготовлены образцы Cr:YAG-керамик различного состава. Измерены их спектры пропускания, люминесценции, и по известным данным о сечении поглощения Cr^{4+} определены его концентрации в образцах керамик Cr:YAG. Это позволило выбрать состав оправы (2,5 мол.% Cr + 0,5 мол.% Ca + 97 мол.% YAG) и ее толщину (>2 мм), при которых подавляется самовозбуждение Nd:YAG.

Работа выполнена в рамках темы государственного задания № 0389-2014-0003, при поддержке

проекта РФФИ № 14-08-00181 и проекта Президиума УрО РАН № 15-17-2-19.

1. Ларионов М., Даузингер Ф., Зоммер Ш., Гизен А. Лазеры на тонких дисках. Принцип работы и применение. Ч. 1 // Фотоника. 2009. Т. 15, № 3. С. 2–8.
2. Speiser J. Scaling of thin-disk lasers – influence of amplified spontaneous emission // J. Opt. Soc. Amer. B. 2009. V. 26, N 1. P. 26–35.
3. Hideki Yagia, Kazunori Takaichi, Ken-ichi Ueda, Takagimi Yanagitani, Alexander A. Kaminskii. Influence of annealing conditions on the optical properties of chromium-doped ceramic $\text{Y}_3\text{Al}_5\text{O}_{12}$ // Opt. Mater. 2006. V. 29, iss. 4. P. 392–396.
4. Osipov V.V., Kotov Yu.A., Ivanov M.G., Samatov O.M., Lisenkov V.V., Platonov V.V., Murzakaev A.M., Medvedev A.I., Azarkevich E.I. Laser Synthesis of Nanopowders // Laser Phys. 2006. V. 16, N 1. P. 116–125.
5. Bagaev S.N., Osipov V.V., Solomonov V.I., Shitov V.A., Maksimov R.N., Lukyashin K.E., Vatnik S.M., Vedin I.A. Fabrication of Nd^{3+} :YAG laser ceramics using various approaches // Opt. Mater. 2012. V. 34, N 8. P. 1482–1487.
6. Eilers H., Hoffman K.R., Dennis W.M., Jacobsen S.M., Yen W.M. Saturation of 1.064 μm absorption in $\text{Cr,Ca:Y}_3\text{Al}_5\text{O}_{12}$ crystals // Appl. Phys. Lett. 1992. V. 61, N 25. P. 2958–2960.
7. Zhang X., Brenier A., Wang J., Zhang H. Absorption cross-sections of Cr^{4+} :YAG at 946 and 914 nm // Opt. Mater. 2004. V. 26, N 3. P. 293–296.
8. Eilers H., Hommerich U., Jacobsen S.M., Yen W.M. Spectroscopy and dynamics of $\text{Cr}^{4+}\text{:Y}_3\text{Al}_5\text{O}_{12}$ // Phys. Rev. B. 1994. V. 49, N 22. P. 15505–15513.
9. Solomonov V.I., Michailov S.G., Lipchak A.I., Osipov V.V., Shpak V.G., Shunailov S.A., Yalandin M.I., Ulmaskulov M.R. CLAVI Pulsed Cathodoluminescence Spectroscope // Laser Phys. 2006. V. 16, N 1. P. 126–129.

S.G. Garanin, V.V. Osipov, V.A. Shitov, V.I. Solomonov, K.E. Lukyashin, A.V. Spirina, R.N. Maksimov, E.V. Pozdnyakov. Nd:YAG/Cr:YAG composite laser ceramics.

This work reports the fabrication of composite transparent ceramics consisting of Nd:YAG as the central part and Cr^{4+} :YAG as the edge cladding. The central part of ceramics was shaped into 14-mm-diameter disk or 11-mm-side square and an outer diameter of the edge cladding was 18 mm or 23 mm, respectively. The central part of ceramics exhibited an optical transmittance of ~84% at a wavelength of 1.06 μm . The concentration of Cr^{4+} in Cr^{4+} :YAG ceramics with three different compositions was evaluated using measured transmission spectra and known absorption cross sections. Taking into account the infeasibility condition for self-excitation, the optimal composition of edge cladding was estimated to be 2.5 mol.% Cr + 0.5 mol.% Ca + 97 mol.% YAG.